

(考试时间 90 分钟 满分 100 分)

第一部分

本部分共 15 题, 每题 3 分, 共 45 分。在每题列出的四个选项中, 选出最符合题目要求的一项。

巴黎奥运会于当地时间 2024 年 7 月 26 日 19:30 开幕, 8 月 11 日闭幕。巴黎(48°52'N, 2°25'E)使用的时间为东一区的区时, 奥运会期间正值当地使用夏令时(将时钟拨快 1 小时)。据此回答第 1—3 题。

- 北京直播巴黎奥运会开幕时刻的时间是
 - 7 月 26 日 12:30
 - 7 月 26 日 11:30
 - 7 月 27 日 2:30
 - 7 月 27 日 1:30
- 巴黎奥运会期间
 - 地球公转速度逐渐变慢
 - 南极大陆极昼范围扩大
 - 当地日出方位逐渐南移
 - 时值我国小暑至立秋之间
- 图 1 中能正确示意北京与巴黎昼长和正午太阳高度年变化范围的是

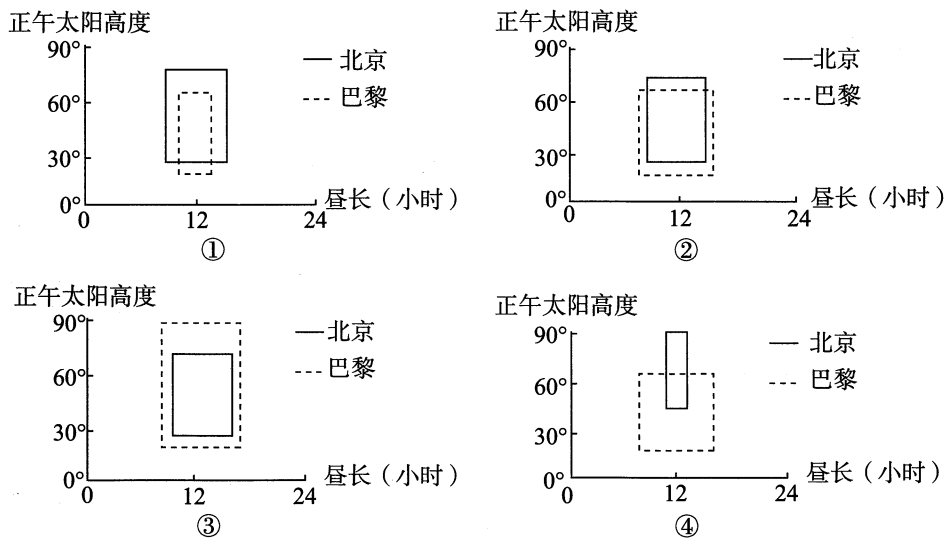


图 1

- A. ① B. ② C. ③ D. ④

2024年9月受台风“摩羯”影响,我国东南沿海多地受灾严重。图2为台风“摩羯”生成至消亡每日14时的位置及中心气压值变化示意图,图3为2024年9月6日17时亚洲局部地区海平面气压分布图。读图,回答第4—6题。

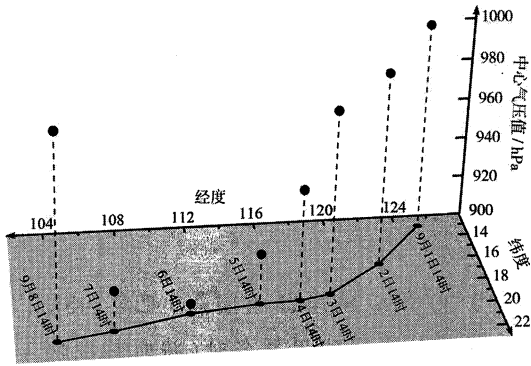


图2

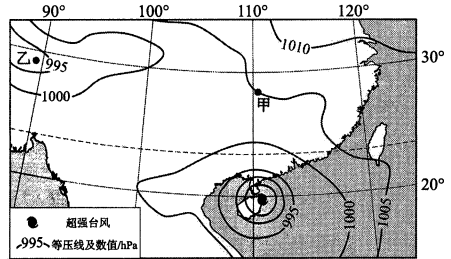


图3

4. 台风“摩羯”
- A. 生成于北太平洋中部海域
 - B. 移动速度在 120°E 以东最慢
 - C. 移动方向为先向东再向北
 - D. 势力最强的时段出现在 9 月 6 日
5. 2024 年 9 月 6 日 17 时
- A. 甲地风向为偏南风
 - B. 乙地受高压控制, 气流下沉
 - C. 海南岛出现强降雨
 - D. 台湾海峡天气晴朗, 风急浪高
6. 台风“摩羯”导致我国海南水产养殖业受损, 其主要原因有
- ①大风破坏水产养殖设施
 - ②风暴潮使养殖区海水水位降低
 - ③强降水改变养殖水环境
 - ④赤潮导致水生生物缺氧死亡
- A. ①② B. ①③ C. ②④ D. ③④

图4为渤海最大可能潮差分布图(单位:米)。读图,回答第7、8题。

7. 影响渤海潮差的主要因素是
- A. 海湾形状
 - B. 洋流流向
 - C. 季风风向
 - D. 人类活动
8. 图中
- A. 大连比葫芦岛近海潮汐能丰富
 - B. 甲处比乙处海水的盐度低
 - C. 乙处比甲处海水结冰期长
 - D. 葫芦岛比烟台近海海水温度高

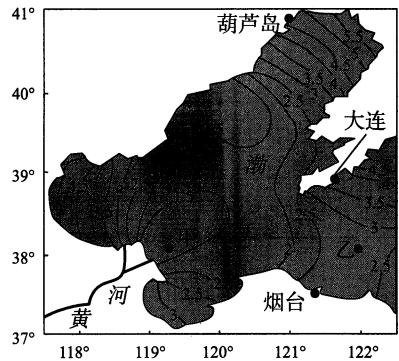


图4

札达盆地位于喜马拉雅山和冈底斯山之间,海拔 3700~4500 米,盆地内分布着景观独特的札达土林。图 5 为札达盆地及周边地区地质剖面图,图 6 为札达土林景观图。读图,回答第 9、10 题。

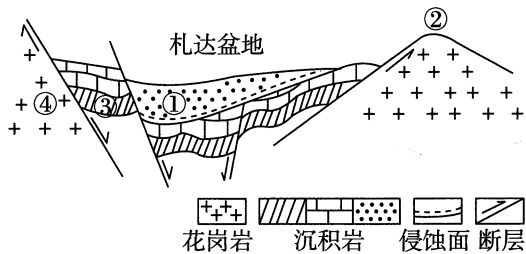


图 5



图 6

9. 图 5 中

- A. ①岩石受内力作用形成
- B. ②处山地由火山喷发形成
- C. ③岩石早于侵蚀面形成
- D. ④岩石中可能发现化石

10. 札达土林的形成过程是

- A. 岩浆活动—固结成岩—地壳抬升—侵蚀作用
- B. 沉积作用—固结成岩—地壳抬升—侵蚀作用
- C. 地壳抬升—风化作用—固结成岩—沉积作用
- D. 地壳下沉—变质作用—固结成岩—沉积作用

图 7 为贺兰山垂直带谱示意图。读图,回答第 11—13 题。

11. 贺兰山为

- A. 晋、陇两省分界线
- B. 地势二、三级阶梯分界线
- C. 季风区与非季风区分界线
- D. 黄土高原与青藏高原分界线

12. 图 7 中的图例甲为

- A. 荒漠草原
- B. 落叶阔叶林
- C. 常绿阔叶林
- D. 高山草甸

13. 该山地

- A. 随海拔升高水热条件变差
- B. 西坡比东坡自然带数量多
- C. 同一自然带分布上限东坡高于西坡
- D. 针叶林分布的主要影响因素是水分

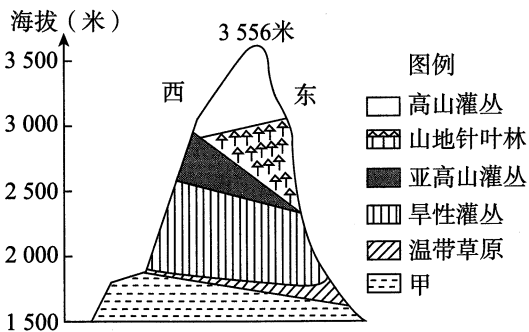


图 7

读图 8,回答第 14、15 题。

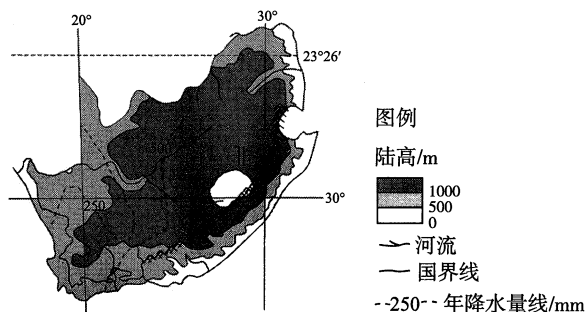


图 8

14. 南非

- A. 位于西半球中低纬度
- B. 地形以高原为主
- C. 东西横跨约 500 千米
- D. 地处板块消亡边界

15. 南非东部比西部降水多,主要是因为东部地区

- ①受东南信风影响,带来大量水汽
 - ②受暖流影响,增温增湿
 - ③受赤道低压带控制,对流运动强烈
 - ④受厄尔尼诺影响,降水变率大
- A. ①② B. ①③ C. ②③ D. ③④

第二部分

本部分共 5 题,共 55 分。

16. (8 分)

某旅行博主前往华北北部山区游览。图 9 为该山区等高线地形图。阅读图文资料,回答下列问题。

行走一段山路后,我踏上了约 200 米紧贴山壁的玻璃栈道。走在玻璃栈道上脚下是急流、险滩,真是人在空中走,水在脚下流……登上山顶后举目四望,山下景色映入眼帘……(节选自该博主的旅游博客)

(1) 推测博客中玻璃栈道的位置(图 9 中 K、Q 或 R 段),并说明理由。(3 分)

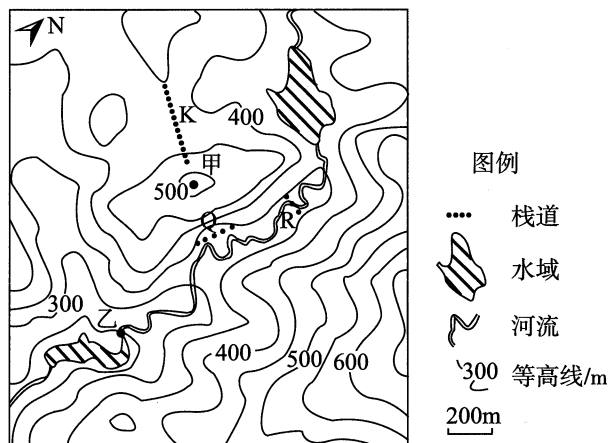


图 9

(2) 该游客到达山顶甲点后,能否看到乙点河湖交汇的景色,绘制地形剖面图并说明理由。(5 分)

17. (17分)

洮河流域位于青藏高原(甘南高原)和黄土高原的交界处。北京市某校到洮河流域进行野外研学活动。图10为洮河流域示意图。读图,回答下列问题。

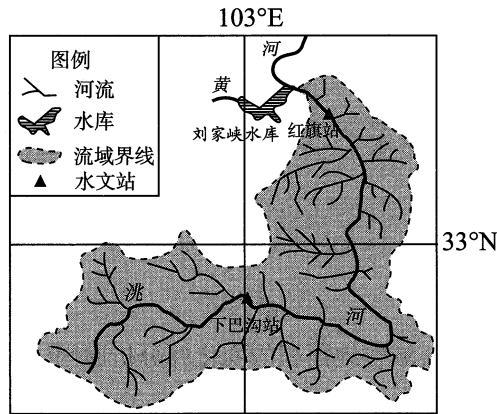


图10

任务一 调查洮河河流水文特征

洮河是黄河上游的一条大支流,全长约673千米,上游和中游流经甘南高原,下游流经黄土高原。图11为1957—2016年洮河下巴沟站和红旗站径流量和输沙量数据。

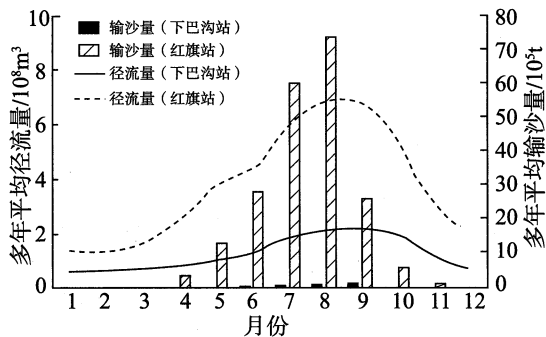


图11

(1)据图指出径流量与输沙量的关系,说出与下巴沟站相比红旗站输沙量的特征,并解释其原因。(6分)

任务二 考察洮河流域独特地貌景观

图12为洮河上游高原曲流地貌景观。



图12

(2)简述洮河上游地区曲流地貌的形成过程。(4分)

任务三 调研洮河流域土地利用变化

图 13 为 1990—2018 年洮河流域不同土地利用类型的面积变化示意图。

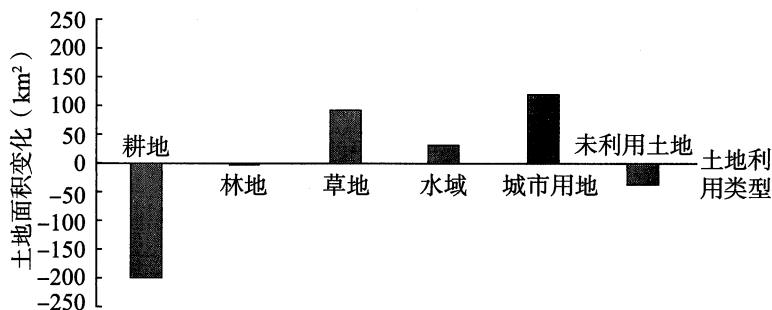


图 13

(3) 说出 1990—2018 年洮河流域耕地面积的变化并分析原因。(3 分)

(4) 说明洮河流域草地增加对黄河流域水资源的影响。(4 分)

18. (12 分)

读图 14 和图 15, 回答下列问题。

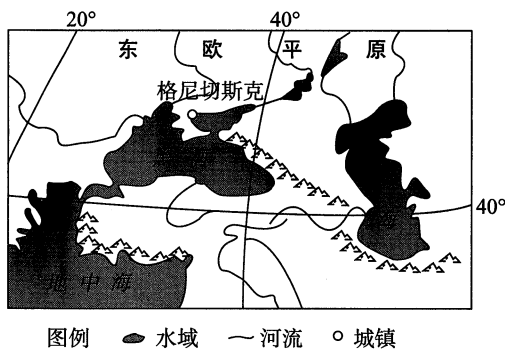


图 14

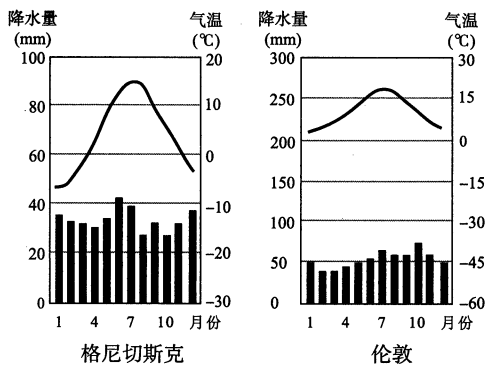


图 15

(1) 与伦敦相比, 描述格尼切斯克的气候特征。(4 分)

(2) 从气候角度说明东欧平原南部土壤有机质含量高的原因。(4 分)

末次冰期晚期里海曾为淡水湖。后来气候变暖, 北方大陆冰川消退, 里海演化为咸水湖。

(3) 简述里海由淡水湖变为咸水湖的过程。(4 分)

19. (11分)

全球变暖,海冰消融,北极地区的近地面气温增暖速度快,是全球气候变化响应最敏感的区域,生态环境不断变化。阅读图文资料,回答下列问题。

(1)运用大气受热过程原理,解释海冰消融对北极地区气温升高的影响。(5分)

1984—2020年期间,北极多年冻土区有3.5万多个湖泊消失,河流径流量增加。图16为北极多年冻土区夏季地表水与地下水转化示意图。

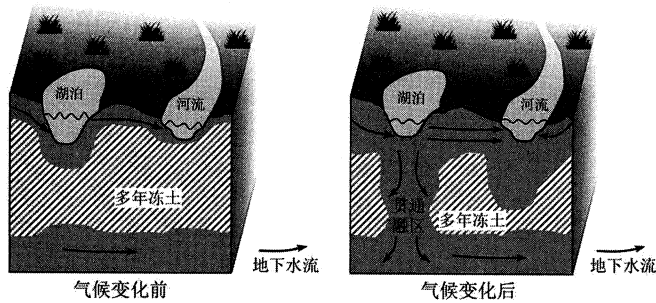


图16

(2)解释1984—2020年北极多年冻土区湖泊数量减少、河流径流量增加的原因。(6分)

20. (7分)

随着人类对宇宙探索的不断深入,火星成为备受关注的星球。表1为地球与火星性质对比数据。图17为某同学梳理的火星资料卡片。阅读图文资料,回答问题。

表1

| 行星 | 距日距离 (天文单位) | 质量 | 体积 | 公转周 期(年) | 自转周 期(天) | 表面重 力(m/s^2) | 轨道 倾角 | 偏心率 |
|----|----------------|------|------|-------------|-------------|---------------------|----------|-------|
| 地球 | 1 | 1 | 1 | 1 | 1 | 9.8 | 0° | 0.017 |
| 火星 | 1.52 | 0.11 | 0.15 | 1.88 | 1.03 | 3.7 | 1.9° | 0.093 |

注:质量和体积都以地球为1,1天文单位=1.5亿千米。

资料卡:火星概况

☆火星的大气主要由二氧化碳(95%)和氮气(3%)组成,大气密度约为地球的1%。

☆火星表面温差很大,赤道地区夏季白天温度为21℃,到了夜晚能降至-73℃。

☆火星表面遍布尘埃,常年有大风,沙尘暴往往持续数周。

☆火星表面有干涸的水系、湖泊和海洋盆地。

☆科学家推测火星表面曾有比现在更厚的大气层,温度也更高,有过适宜生命繁衍的环境,并可能孕育过生命。

☆现在,火星两极覆盖着由干冰和冰组成的冰盖。研究发现,火星中纬度地区地下埋藏着大量的冰,火星南极冰盖下蕴含着大量的液态水,火星土壤中含有少量的水分子。

☆火星有大量小天体撞击形成的陨石坑。这里曾经地质构造活动强烈、岩浆活动活跃,形成了高大的火山、绵延的峡谷和各种金属矿。现今火星构造和岩浆活动已基本停息。



图17

有人提出,在火星上可以建造人类的第二家园,你认为是否可行并加以论述。